

بررسی عملکرد انواع مختلف توابع پایه‌ی شعاعی کروی در مدلسازی محلی میدان گرانی زمین

محبوبه محمدیوسفی بهلولی احمدی^۱

آناهیتا شهبازی^۲

تاریخ پذیرش مقاله: ۹۴/۰۸/۰۸

تاریخ دریافت مقاله: ۹۴/۰۵/۲۶

چکیده

میدان ثقل جهانی معمولاً توسط توابع پایه‌ی هارمونیک کروی تا درجه معینی از قدرت تفکیک طیفی و مکانی مدل می‌شود. توزیع غیریکنواخت و کیفیت متفاوت داده‌ها، این توابع را در مدلسازی محلی میدان ثقل محدود می‌کند. این توابع بیشتر خاصیت جهانی میدان ثقل را نمایش می‌دهند و برای نمایش فرکانس‌های پایین میدان ثقل مناسب هستند. در کاربردهای محلی، توابع پایه‌ی شعاعی بر روی سطح کره با برخورداری از خاصیت محمل شبه محلی می‌توانند به عنوان جایگزین مناسبی برای هارمونیک‌های کروی استفاده شده و میدان گرانی زمین را تا درجه‌ی بالایی از قدرت تفکیک طیفی و مکانی تقریب زنند. این مدل‌های محلی معمولاً دقت بهتری در محل مورد نظر نسبت به مدل‌های جهانی دارند. توابع پایه‌ی شعاعی کروی معمولاً بر روی کره متعامد نیستند که این امر منجر به پیچیدگی بیشتر مسئله می‌شود. در این مقاله، عملکرد انواع مختلف توابع پایه‌ی شعاعی کروی شامل کرنل جرم نقطه‌ای، چندقطبی شعاعی، کرنل پواسن و ویولت پواسن در مدلسازی محلی میدان ثقل زمین با استفاده از داده‌های شتاب گرانی در منطقه‌ی فارس ساحلی مقایسه شده است. برای حل مسئله معکوس غیرخطی مدلسازی میدان گرانی زمین با استفاده از توابع پایه‌ی شعاعی کروی، تکنیک "کمترین مربعات" به کار رفته است. بدین منظور، الگوریتم بهینه‌سازی لونبرگ-مارکواردت طی یک پروسه‌ی تکراری با مینیمم کردن اختلاف بین مقادیر مشاهداتی و مقادیر مدل شده، پارامترهای مدلسازی را تخمین می‌زنند. این پارامترها شامل تعداد، مکان، عمق و ضرایب مقیاس توابع پایه شعاعی هستند. به منظور افزایش کارایی عددی الگوریتم لونبرگ-مارکواردت در حل مسئله مدلسازی میدان گرانی، مقدار اولیه پارامتر پایدارسازی از طریق رابطه‌ای بر مبنای ژاکوبین تابع هدف تعیین و روشی برای به هنگام سازی این پارامتر ارائه شده است. نتایج این تحقیق نشان می‌دهد که در صورت انتخاب عمق مناسب توابع پایه، دقت مدلسازی محلی میدان گرانی برای انواع توابع پایه‌ی شعاعی مورد بررسی تقریباً یکسان خواهد بود.

واژه‌های کلیدی: میدان ثقل، تابع پایه‌ی شعاعی کروی، الگوریتم لونبرگ-مارکواردت، روش کمترین مربعات.

۱- دانشجوی کارشناسی ارشد، دانشگاه تهران mmmyusefi@ut.ac.ir

۲- دانشیار گروه ژئودزی، دانشکده مهندسی نقشه‌برداری و اطلاعات مکانی، دانشگاه تهران asafari@ut.ac.ir

۳- دانشجوی کارشناسی ارشد، دانشگاه تهران ana.shahbazi@ut.ac.ir

۱- مقدمه

به هنگام مدل‌سازی میدان‌گرانی زمین با استفاده از توابع پایه‌ی شعاعی لازم است که نوع کرنل، پارامترهای این توابع شامل موقعیت مراکز، عمق و ضرایب مقیاس آنها، و تعداد توابع مورد نیاز در مدل‌سازی را تعیین نمود (لویتور، ۲۰۰۹). دقت و صحت مدل‌های محاسبه شده با استفاده از توابع پایه‌ی شعاعی به نحوه‌ی انتخاب این عوامل بستگی دارد (لویتور، ۲۰۰۹).

از جمله کارهای انجام گرفته در زمینه تعیین پارامترهای توابع پایه شعاعی می‌توان به موارد زیر اشاره نمود: هکنین (۱۹۸۱) و ورمیر (۱۹۸۲، ۱۹۸۳، ۱۹۸۴) با قرار دادن توابع پایه در موقعیت نقاط مشاهده، شبکه‌ی توابع پایه شعاعی را تشکیل دادند. مارچنکو (۱۹۹۸) در زیر هر یک از نقاط مشاهده، یک تابع پایه شعاعی قرارداد و مختصات مسطوحاتی آنها را با استفاده از الگوریتم چندقطبی دنباله‌ای^۳ بهینه‌سازی کرد. مارچنکو و همکاران (۲۰۰۱) موقعیت مراکز هرتابع پایه را به ازای یک زیرمجموعه از نقاط مشاهده تعیین کردند که به موجب آن، تعداد توابع پایه مورد نیاز برای مدل‌سازی کاهش یافت. ایکر و همکاران (۲۰۰۴) با مثلث‌بندی یک بیست و چهاری، موقعیت مراکز توابع پایه را ثابت کردند. اشمیت و همکاران (۲۰۰۴) شبکه‌ی توابع پایه شعاع کروی را به صورت منظم و بر مبنای نظریه‌ی انتگرال عددی توابع کروی تعیین کردند.

هکنین (۱۹۸۱) عمق توابع پایه را به صورت تجربی بر اساس فواصل داده‌ها از یکدیگر و ماتریس کوواریانس وابسته‌ی آنومالی جاذبه تعیین کرد. بارتلمس (۱۹۸۶) از یک روش بهینه‌سازی غیرخطی برای تعیین عمق توابع پایه شعاعی بر مبنای اطلاعات موجود در داده‌ها استفاده کرد. مارچنکو (۱۹۹۸) پهنه‌ی باند هر یک از توابع پایه را به این صورت تعیین کرد که ماتریس کوواریانس سیگنال در همسایگی داده‌ها بر شکل تابع پایه منطبق شود. کلیس و لویتور (۲۰۰۷) الگوریتمی را برای داده‌های ناهمگن ارائه دادند که در آن عمق توابع پایه شعاعی به روش اتوماتیک

یکی از مهم‌ترین اهداف ژئودزی، تعیین ژئوئید به عنوان یک سطح هم پتانسیل منطبق بر سطح آبهای آزاد زمین است. بنابر قانون مشهور انتگرال نیوتون، پتانسیل تقلیل زمین در فضای خارج از سطح آن می‌تواند توسط بی‌نهایت عنصر جرمی در درون زمین تولید شود که لازمه‌ی استفاده از این رابطه، معلوم بودن توزیع جرم در هر یک از نقاط زمین است. اگرچه برآورده دقیق توزیع جرم زمین امری غیرممکن است اما می‌توان با استفاده از کمیت‌های قابل مشاهده میدان‌گرانی زمین نظیر آنومالی جاذبه، کمیت‌های غیرقابل مشاهده میدان‌گرانی را برآورده نمود که از آن به عنوان مسئله معکوس در ژئودزی نام برده می‌شود (لمن، ۱۹۹۳؛ کلیسنس و همکاران، ۲۰۰۱). میدان جاذبه‌ی جهانی به طور وسیع توسط توابع پایه‌ی هارمونیک کروی مدل‌سازی می‌شود (پاولیس و همکاران، ۲۰۱۲). هارمونیک‌های کروی توابعی متعمد بر روی سطح کره هستند. این توابع برای مدل‌سازی‌های جهانی بسیار مناسب می‌باشند و با داده‌های جهانی و همگن‌سازگاری بیشتری دارند و نمی‌توان از آنها برای بهبود محلی میدان‌گرانی زمین استفاده نمود (اسچمیدات و همکاران، ۲۰۰۷؛ ایکر، ۲۰۰۸؛ بتل و همکاران، ۲۰۱۳).

برای مدل‌سازی محلی میدان‌گرانی روش‌های مختلفی موجود است که از بین آنها، استفاده از توابع پایه شعاعی کروی^۱ (SRBF) به دلیل ویژگی‌های منحصر به فرد آنها به روشی رایج در مدل‌سازی محلی تبدیل شده است. توابع پایه شعاعی دارای محمول شبهمحلی^۲ هستند و ویژگی بارز آن‌ها این است که با فاصله از مبداء به سرعت کاهش می‌یابند و به همین دلیل برای کاربردهای محلی مناسب می‌باشند (لین و همکاران، ۲۰۱۴). از بین انواع مختلف کرنل‌های توابع پایه شعاعی می‌توان به کرنل جرم نقطه‌ای، چندقطبی شعاعی، کرنل پواسن و ویولت پواسن اشاره کرد که دارای کاربردهای گسترده‌ای در زمینه‌ی مدل‌سازی میدان‌گرانی زمین هستند.

3- Sequential Multi-pole Algorithm

1-Spherical Radial Basis Function

2-Quasi-local support

فصلنامه علمی - پژوهشی اطلاعات جغرافیایی (میر)

بررسی عملکرد انواع مختلف توابع پایه شعاعی ... / ۶۳

توابع پایه شعاعی تعریف شده و انواع کرنل‌های آن مورد بررسی قرار گرفته‌اند. دربخش ۳، میدان‌گرانی زمین بر حسب توابع پایه شعاعی مطرح و روش حل مسئله توضیح داده شده است. بخش ۴ الگوریتم پایدارسازی لونبرگ-مارکواردت را مورد بررسی قرارداده است. دربخش ۵ به مدلسازی محلی میدان‌گرانی زمین با استفاده از انواع مختلف توابع پایه شعاعی کروی در منطقه‌ی خلیج فارس و مقایسه‌ی نتایج حاصل از آنها پرداخته شده است. بخش ۶ به بحث و نتیجه‌گیری می‌پردازد.

۲. توابع پایه شعاعی

از توابع پایه شعاعی به طور گستره در مدل‌سازی میدان ثقل زمین استفاده می‌شود. توابع پایه شعاعی هر دو خاصیت محمول جهانی^۱ و محلی را دارا می‌باشد. در حالتی که محمول توابع پایه شعاعی از نوع جهانی است، این توابع هیچگونه تفاوتی با توابع هارمونیک کروی ندارند ولی خاصیت محلی بودن آنها منجر به کاهش پیچیدگی عددی سیستم‌های معادلات مشاهداتی می‌شود (ویتور، ۲۰۰۹).

در مدل‌سازی میدان ثقل با استفاده از توابع پایه شعاعی، به منظور دستیابی به یک تقریب دقیق از میدان به ۳ انتخاب در مورد این توابع نیاز است:

نوع کرنل: هر کدام از کرنل‌های توابع پایه شعاعی در حوزه مکانی و طیفی، رفتاری متفاوت دارند که می‌توانند بر روند مدل‌سازی میدان ثقل با استفاده از این توابع تأثیر بگذارند. پهنه‌ای باند توابع پایه شعاعی: پهنه‌ای باند توابع پایه شعاعی مهمترین عامل در تعریف رفتار این توابع در حیطه‌ی مکان است. به منظور دستیابی به یک تقریب دقیق از میدان‌گرانی، لازم است که پهنه‌ای باند بهینه برای هر تابع پایه تعیین شود. پهنه‌ای باند بسیار کوچک ممکن است که منجر به تقریب دقیق میدان‌گرانی در نقاط مشاهده و یک سیستم معادلات خوش وضع^۲ شود ولی جواب در نقاطی غیر از نقاط مشاهده (نقاط درونیابی) کیفیت پایینی داشته باشد. از

به صورت تابعی از توزیع داده‌ها و با در نظر گرفتن نویز آنها انتخاب می‌شوند. آنها در این الگوریتم از روش Generalized Cross Validation برای تعیین عمق توابع پایه شعاعی استفاده نمودند. بدین منظور، آنها هر بار یکی از مشاهدات را حذف کرده و مجھولات مدل‌سازی را بدون حضور این مشاهده برآورد کردند. سپس با استفاده از این پارامترها به برآورد مشاهده‌ی حذف شده پرداختند و عمق بهینه را به ازای مینیمم مقدار خطای بازیابی مشاهدات حذف شده انتخاب نمودند.

اگرچه تاکنون از انواع مختلفی از توابع پایه شعاعی برای مدل‌سازی میدان ثقل استفاده شده است، اما مقایسه‌ای برای بررسی عملکرد این کرنل‌ها و انتخاب بهترین نوع آنها انجام نگرفته است. در این تحقیق، عملکرد انواع کرنل‌های توابع پایه شعاعی در مدل‌سازی محلی میدان ثقل در منطقه‌ی فارس ساحلی با استفاده از داده‌های شتاب جاذبی موجود در این منطقه مورد بررسی قرار گرفته است. برای تعیین پارامترهای مجھول توابع پایه شعاعی از الگوریتم پایدارسازی لونبرگ-مارکواردت استفاده شده است. همواره از الگوریتم لونبرگ-مارکواردت به عنوان یک الگوریتم بهینه‌سازی در حل مسائل کمترین مربعات غیرخطی، و به طور خاص دریافتی پارامترهای مجھول توابع پایه شعاعی استفاده شده است (آنتونی و همکاران، ۲۰۰۹؛ وایکلت و همکاران، ۲۰۱۰، صفری و همکاران، ۲۰۱۳؛ فروغی و تنزر، ۲۰۱۴). این الگوریتم در واقع ترکیبی از دو روش مینیمم‌سازی کاهش گرادیان^۳ و گوس-نیوتون می‌باشد. علاوه بر بررسی عملکرد انواع مختلف توابع پایه شعاعی، به منظور افزایش کارایی عددی الگوریتم لونبرگ-مارکواردت در حل مسئله‌ی مدل‌سازی میدان‌گرانی، این الگوریتم را با ارائه‌ی رابطه‌ای برای تعیین مقدار اولیه‌ی پارامتر پایدارسازی و پیشنهاد روشی برای به هنگام‌سازی این پارامتر بهبود می‌دهیم که در بخش‌های بعدی به طور مفصل در مورد آنها توضیح داده می‌شود. این مقاله در ۶ بخش سازماندهی شده است. در بخش ۲،

2- Global support

3- Well-posed

1- Steepest decent

رفتار طیفی کرنل تنها به فاصله شعاعی تابع پایه از مرکز کره مرجع بستگی دارد که پهنانی باند تابع پایه ($|y|$) نامیده می‌شود. پهنانی باند تابع پایه شعاعی همارز عمق آن است که به صورت فاصله‌ی بین تابع پایه از سطح کره مرجع تعریف می‌شود و برابر است با:

$$d = R - |y| \quad (5)$$

در رابطه‌ی (5)، d عمق زیر کره می‌باشد. کرنل جرم نقطه‌ای مانند یک فیلتر پایین گذر عمل می‌کند و قرارگیری توابع پایه در عمق‌های کم، حساسیت کرنل را نسبت به درجات بالاتر هارمونیک‌های کروی افزایش می‌دهد (ویتور، ۲۰۰۹).

چندقطبی‌های شعاعی نوع دیگری از توابع پایه‌ی شعاعی هستند که با مشتقگیری از کرنل جرم نقطه‌ای به دست می‌آیند. شکل تحلیلی این توابع که نخستین بار توسط مارچنکو و همکاران (۲۰۰۱) برای مدل‌سازی میدان‌گرانی زمین مورد استفاده قرار گرفت، به صورت زیر است (ویتور، ۲۰۰۹):

$$\Psi(x, y) = \frac{1}{n!} \left(\frac{\partial}{\partial |y|} \right)^n \frac{1}{|x-y|} \quad (6)$$

در رابطه‌ی (6)، n بیانگر مرتبه‌ی چندقطبی شعاعی است. شکل چند قطبی شعاعی به عمق تابع و مرتبه‌ی آن بستگی دارد. کرنل چند قطبی شعاعی ویژگی‌های یک فیلتر باند محدود را دارد اما از آنجا که ضرایب لزاندر آن هیچگاه صفر نمی‌شوند، از نوع توابع باند محدود نیست (ویتور، ۲۰۰۹). ضرایب لزاندر چندقطبی شعاعی به صورت زیر تعریف می‌شوند (کلیس و همکاران، ۲۰۰۷):

$$\psi_l = \binom{l}{n} \frac{|y|^{l-n}}{4\pi R^2} \quad (7)$$

ویولت پواسن یکی دیگر از انواع توابع پایه شعاعی است که نخستین بار توسط هالچسیندر و همکاران (۲۰۰۳)

$$\psi(x, y) = \frac{1}{4\pi R^2} (2x_{n+1} + x_n) \quad (8)$$

$$x_n = \left(|y| \frac{\partial}{\partial |y|} \right) \frac{1}{|x-y|} \quad (9)$$

طرفی، انتخاب پهنانی باند بسیار بزرگ یک سیستم معادلات بد وضع^۱ را نتیجه می‌دهد که ممکن است تغییرات سیگنال را به خوبی نشان ندهد (ویتور، ۲۰۰۹).

طراحی شبکه: طراحی شبکه RBF‌ها مرتبط با تعداد توابع پایه شعاعی مورد استفاده در تخمین پارامترها و همچنین موقعیت افقی آن‌ها می‌باشد. در حالت کلی دو انتخاب

محتمل برای طراحی شبکه موجود می‌باشد:

- قرارگیری توابع پایه ببروی یک گرید

- قرارگیری توابع پایه به صورت پراکنده

تابع پایه شعاعی کروی به صورت تابعی از فاصله‌ی کروی بین دو نقطه تعریف می‌شود (ایکر، ۲۰۱۲). به منظور تعریف تابع پایه شعاعی، ابتدا کره مرجع با شعاع R به صورت زیرتعریف می‌شود (کلیس و همکاران، ۲۰۰۷):

$$\sigma_R = \{(x_1, x_2, x_3) : x_1^2 + x_2^2 + x_3^2 = R^2\} \quad (1)$$

با در نظر گرفتن دو نقطه $x, y \in R^3, y \neq 0$ که x در فضای بیرون کره مرجع و y در فضای داخل این کره واقع شده‌اند، تابع پایه شعاعی به مرکز y نسبت به نقطه‌ی ارزیابی x از طریق رابطه‌ی (۲) محاسبه می‌شود (کلیس و همکاران، ۲۰۰۷):

$$\Psi_i(x, y_i) = \sum_{l=0}^R \psi_l \left(\frac{R}{|x|} \right)^{l+1} p_l(\hat{x}^T, y) \quad (2)$$

در رابطه‌ی (۲)، p_l بیانگر چندجمله‌ای‌های لزاندر از درجه l هستند. Ψ_i نیز نشان دهنده‌ی نوع کرنل توابع پایه است که ویژگی‌های طیفی و مکانی این توابع را مشخص می‌کند. به بیان دیگر، رفتار تابع پایه شعاعی در حوزه طیفی و مکانی به انتخاب کرنل تابع پایه و ضرایب لزاندر آن بستگی دارد. ساده‌ترین نوع کرنل تابع پایه شعاعی، کرنل جرم نقطه‌ای است که فرم تحلیلی آن به صورت زیر تعریف می‌شود (مکین، ۱۹۱۱؛ ورمیر، ۱۹۱۴، ۱۹۱۹، ۱۹۴۰؛ بارتلمس، ۱۹۱۷):

$$\Psi(x, y) = \frac{1}{|x-y|} \quad (3)$$

بدین ترتیب، ضرایب لزاندر کرنل جرم نقطه‌ای به صورت زیر خواهند بود (کلیس و همکاران، ۲۰۰۷):

$$\psi_l = \frac{|y|^l}{R^{l+1}} \quad (4)$$

فصلنامه علمی - پژوهشی اطلاعات جغرافیایی (۲۸)

بررسی عملکرد انواع مختلف توابع پایه شعاعی ... / ۶۵

آنومالی ارتفاعی از جمله تابک‌های خطی میدان گرانی زمین هستند که به کرات در مدل‌سازی‌های محلی میدان مورد استفاده قرار می‌گیرند و به ترتیب در روابط زیر نشان داده شده‌اند (موریتز، ۱۹۱۰):

$$\Delta g(x) = \frac{-2}{|x|} T(x) - \frac{\partial T(x)}{\partial |x|} \quad (14)$$

$$\delta g(x) = -\frac{\partial T(x)}{\partial |x|} \quad (15)$$

$$\zeta(x) = \frac{T(x)}{\gamma(x')} \quad (16)$$

در روابط بالا x نقطه‌ای بر روی سطح زمین، x' نقطه متناظر آن بر روی سطح تلوروئید و γ جاذبه نرمال می‌باشد. با توجه به اینکه در این تحقیق تنها از مشاهدات آنومالی جاذبه برای مدل‌سازی محلی میدان گرانی استفاده شده، در ادامه سیستم معادلات مشاهداتی تنها برای این نوع تابع سازماندهی می‌شود. عملگر آنومالی جاذبه بر حسب توابع پایه شعاعی به صورت زیر تعریف می‌شود (ویتور، ۲۰۰۹) :

$$\Delta g(x_i) = \sum_{n=1}^N \alpha_n D_{\Delta g} \psi(x_i, y_n) \quad (17)$$

در رابطه‌ی (۱۷)، $\Delta g(x_i)$ آنومالی جاذبه است که در نقطه‌ی x_i ارزیابی می‌شود و $D_{\Delta g}$ عملگر آنومالی جاذبه می‌باشد که با استفاده از رابطه‌ی زیر تعریف می‌شود:

$$D_{\Delta g} = \frac{-\partial}{\partial |x_i|} (\Psi(x_i, y_i)) - \frac{2}{|x_i|} \Psi(x_i, y_i) \quad (18)$$

بدین ترتیب، می‌توان سیستم معادلات مشاهداتی را بر حسب مشاهدات آنومالی جاذبه با استفاده از رابطه‌ی (۱۸) تشکیل داد.

$$I = AX \quad (19)$$

در رابطه‌ی بالا (رابطه ۱۹)، I بردار مشاهدات شامل مشاهدات آنومالی شتاب جاذبه، A ماتریس ضرایب و X بردار مجهولات مدل‌سازی شامل ضرایب مقیاس توابع پایه‌ی شعاعی (α) و موقعیت مراکز توابع پایه شعاعی (λ, φ, r) است. شکل ماتریسی سیستم معادلات مشاهداتی با استفاده از دستگاه (۲۰) نمایش داده می‌شود:

$$\psi_l = \frac{(2l+1)}{4\pi R^3} l^n |y|^l \quad (10)$$

بررسی کرنل ویولت پواسن در حوزه طیفی نشان می‌دهد که تغییر مرتبه n ، اثری معادل با تغییر عمق دارد اما مرتبه‌های بالاتر ویولت پواسن شبیه شدیدتری نسبت به مرتبه‌های پایین در عمق‌های مشابه دارند (ویتور، ۲۰۰۹). کرنل پواسن نیز نوع دیگری از توابع پایه شعاعی است که معادل ویولت پواسن مرتبه صفر می‌باشد و با استفاده از رابطه‌ی تحلیلی زیر بیان می‌شود (کلیس و همکاران، ۲۰۰۸) :

$$\psi(x, y) = \frac{1}{4\pi R} \frac{|x|^2 - |y|^2}{|x-y|^3} \quad (11)$$

کرنل پواسن مانند کرنل چندقطبی شعاعی ویژگی‌های فیلتر باند محدود را دارد. ضرایب لزاندر متناظر به کرنل پواسن به صورت زیر تعریف می‌شوند (کلیس و همکاران، ۲۰۰۷) :

$$\psi_l = \frac{(2l+1)}{4\pi R^3} |y|^l \quad (12)$$

۳. میدان گرانی زمین بر حسب توابع پایه‌ی شعاعی

آنومالی پتانسیل ثقل زمین در فضای خارج سطح زمین، یکتابع هارمونیک و منظم است که بر اساس قضیه‌ی رونگه-کراراپ می‌توان آن را بر حسب ترکیبی خطی از توابع پایه‌ی غیر متعامد نمایش داد (مارچنکو، ۱۹۹۱).

به بیان دیگر، آنومالی پتانسیل ثقل T در بیرون کره‌ی بیرهامر به شعاع R می‌تواند توسط ترکیبی خطی از تعداد محدودی از توابع پایه‌ی شعاعی کروی که توابعی غیر متعامد هستند، به صورت زیر بیان شود (ویتور، ۲۰۰۹) :

$$T(x) = \frac{GM}{R} \sum_{n=1}^N \alpha_n \psi_n(x, y_n) \quad (13)$$

در رابطه‌ی (۱۳)، نقطه‌ی ارزیابی آنومالی پتانسیل ثقل، مرکز تابع پایه‌ی شعاعی، ضرایب مقیاس بسط توابع پایه‌ی شعاعی، تعداد توابع پایه، و حاصل ضرب ثابت جهانی نیوتن در جرم زمین است. بدین ترتیب، هدف از مدل‌سازی محلی میدان ثقل، تعیین مراکز، عمق‌ها و ضرایب مقیاس توابع پایه شعاعی با استفاده از تعداد مشخصی از تابک‌های خطی میدان گرانی زمین می‌باشد. آنومالی جاذبه، نوسان جاذبه و

یابد، μ را با استفاده از یک ضریب ثابت کاهش می‌دهند تا اثر گرادیان نزولی کاهش یابد و بر عکس اگر خطای خروجی در مرحله‌ای افزایش یابد، به منظور افزایش اثر گرادیان نزولی μ را با همان ضریب ثابت افزایش می‌دهند. در هر مرحله از تکرار، مقادیر جدید مجھولات به صورت زیر محاسبه می‌شوند:

$$x_{i+1} = x_i + \Delta x_i \quad (22)$$

به منظور افزایش کارایی عددی الگوریتم لونبرگ-مارکواردت، رابطه‌ای برای تعیین مقدار اولیه‌ی پارامتر پایدارسازی و روشی برای به‌هنگام‌سازی آن در نظر گرفته شد. رابطه‌ی ارائه شده برای تعیین مقدار اولیه‌ی پارامتر پایدارسازی بر اساس ارزیابی ماتریس ژاکوبین مجھولات به ازای مقادیر اولیه‌ی پارامترهای توابع پایه‌ی شعاعی است (گاوین، ۲۰۱۳). به منظور افزایش کارایی عددی الگوریتم لونبرگ-مارکواردت، این الگوریتم با ارائه‌ی رابطه‌ای مناسب برای تعیین مقدار اولیه‌ی پارامتر پایدارسازی و روشی برای به‌هنگام‌سازی آن بهبود داده می‌شود. مقدار اولیه‌ی پارامتر پایدارسازی را می‌توان با استفاده از رابطه‌ی (۲۳) تعیین کرد (گاوین، ۲۰۱۳).

$$\mu_0 = \max \left(\text{diag} \left(J(x_0)^T J(x_0) \right) \right) \quad (23)$$

در رابطه‌ی فوق، $J(x_0)$ ماتریس ژاکوبین ارزیابی شده به ازای مقادیر اولیه‌ی مجھولات x_0 و μ_0 یک ضریب ثابت دلخواه است. در الگوریتم لونبرگ-مارکواردت، مقدار پارامتر پایدارسازی در هر مرحله بر رفتار سیستم معادلات مشاهداتی تأثیر می‌گذارد. انتخاب نامناسب پارامتر پایدارسازی می‌تواند موجب کاهش سرعت همگرایی به جواب مینیمم مطلق، همگرایی به جواب مینیمم نسبی، و یا ناپایداری سیستم معادلات مشاهداتی گردد (آراند، ۲۰۰۴). به همین دلیل، در این تحقیق روشی مناسب برای به‌هنگام‌سازی پارامتر پایدارسازی ارائه می‌شود. در این روش پارامتر ρ به صورت یک عدد ثابت در نظر گرفته می‌شود (گاوین، ۲۰۱۳).

$$\rho_k = \alpha_0 \quad (24)$$

در صورتی که خطای خروجی در یک تکرار کاهش یابد، پارامتر P جایگزین مقدار به دست آمده در رابطه (۲۴)

$$\begin{bmatrix} \Delta g(x_1) \\ \Delta g(x_2) \\ \vdots \\ \Delta g(x_{I-1}) \\ \Delta g(x_I) \end{bmatrix} = \begin{bmatrix} \phi(x_1, y_1) & \dots & \phi(x_1, y_N) \\ \phi(x_2, y_1) & \dots & \phi(x_2, y_N) \\ \vdots & \ddots & \vdots \\ \phi(x_{I-1}, y_1) & \dots & \phi(x_{I-1}, y_N) \\ \phi(x_I, y_1) & \dots & \phi(x_I, y_N) \end{bmatrix} \begin{bmatrix} \varphi_1 \\ r_1 \\ \vdots \\ \alpha_N \\ \lambda_N \\ \varphi_N \\ r_N \end{bmatrix} \quad (20)$$

تعیین مجھولات مدل‌سازی با استفاده از مشاهدات آنومالی جاذبه به عنوان یک مسئله‌ی معکوس غیرخطی در ژئودزی شناخته می‌شود که برای بدست آوردن مجھولات مسئله به یک روش پایدارسازی غیرخطی نیاز است. یکی از پرکاربردترین روش‌های پایدارسازی غیرخطی، الگوریتم لونبرگ-مارکواردت می‌باشد که در بخش بعدی درباره‌ی این الگوریتم به تفصیل توضیح داده شده است.

۴. حل مسئله معکوس و پایدارسازی

الگوریتم لونبرگ-مارکواردت یکی از پرکاربردترین الگوریتم‌های پایدارسازی برای حل مسائل معکوس غیرخطی است. این الگوریتم روشی بین روش نیوتون و روش گرادیان نزولی است. هدف از این الگوریتم یافتن جواب مسائل مینیمم سازی کمترین مربعات غیرخطی است و جواب این مسئله به صورت تکراری از طریق رابطه زیر محاسبه می‌شود (تیاگی، ۲۰۱۱):

$$\Delta x_k = -(H + \mu \text{diag}(H))^{-1} J(x_k)^T r(x_k) \quad (21)$$

در رابطه‌ی (۲۱)، X_k بردار پارامترهای مجھول، Δx_k بردار تغییرات پارامترها در k امین تکرار، $J(x)$ ماتریس ژاکوبین، $r(x_k)$ $H = J(x_k)^T J(x_k)$ ماتریس هسین، بردار باقیمانده‌ها که به صورت تفاضل بین تابعک‌های مشاهده شده و برآورد شده تعریف می‌شود، و μ پارامتر پایدارسازی است. نحوه‌ی تعیین پارامتر پایدارسازی به این صورت است که اگر خطای خروجی در مرحله‌ای کاهش

فصلنامه علمی - پژوهشی اطلاعات جغرافیایی (میر)

بررسی عملکرد انواع مختلف توابع پایه شعاعی ... ۶۷ /

تصحیح هوای آزاد به داده‌های آنومالی جاذبه‌ی هوای آزاد تبدیل شدند. رابطه‌ی تصحیح هوای آزاد به صورت زیر می‌باشد (صفری، ۲۰۱۱).

$$\Delta g^{FA} = 0.3086 H_p^0 \quad (۲۹)$$

در رابطه‌ی (۲۹)، H_p^0 ارتفاع اورتومتریک نقطه P می‌باشد.

برای محلی‌سازی مشاهدات آنومالی جاذبه‌ی هوای آزاد مورد نیاز برای کاربردهای محلی، اثر جهانی میدان با استفاده از هارمونیک‌های کروی تا درجه و مرتبه ۳۶۰ از روی مشاهدات حذف شد. لازم به ذکر است که ضرایب هارمونیک‌های کروی با استفاده از مدل EGM2008 به دست آمد. بدین ترتیب، مشاهدات آنومالی جاذبه هوای آزاد باقیمانده برای مدل‌سازی محلی میدان گرانی در منطقه‌ی فارس ساحلی به دست آمد که تغییرات آن در نگاره (۴) نشان داده شده است.

برای تعیین پارامترهای هر یک از انواع توابع پایه‌ی شعاعی، ابتدا ۱۶۹ تابع پایه در یک شبکه‌ی گردید منظم چیده شدند. سپس عمق اولیه‌ی این توابع به صورت تجربی مشخص شد. بدین ترتیب با تعیین موقعیت اولیه‌ی مراکز و عمق RBF‌ها، ضرایب مقیاس اولیه‌ی آنها از طریق سرشکنی کمترین مربعات خطی تعیین می‌شود. پس از تعیین مقادیر اولیه‌ی مجھولات، پارامترهای توابع پایه‌ی شعاعی با تشکیل سیستم معادلات مشاهداتی براساس مشاهدات آنومالی جاذبه‌ی هوای آزاد باقیمانده با استفاده از الگوریتم لونبرگ مارکواردت طی یک پروسه‌ی تکراری بهینه‌سازی شدند. پس از برآورد مقادیر بهینه‌ی پارامترهای کرنل‌های جرم نقطه‌ای، چندقطبی شعاعی مرتبه ۲، ویولت پواسن مرتبه ۲ و کرنل پواسن آنومالی جاذبه‌ی هوای آزاد باقیمانده در نقاط مشاهداتی محاسبه شد. در نگاره (۵)، تغییرات آنومالی جاذبه‌ی هوای آزاد باقیمانده محاسبه شده به روش پیشنهادی برای هر ۴ نوع کرنل تابع پایه‌ی شعاعی نشان داده شده است. با تعریف باقیمانده‌های سرشکنی به صورت تفاضل بین آنومالی جاذبه‌ی هوای آزاد باقیمانده‌ی

می‌شود و پارامتر پایدارسازی (μ) با استفاده از رابطه‌ی (۲۵) به هنگام می‌شود (گاوین، ۲۰۱۳).

$$\mu_{k+1} = \mu_k \times \max[1/3, 1 - (2 \times P_k - 1)^3] \quad (۲۵)$$

در رابطه‌ی (۲۵)، P_k در هر تکرار با استفاده از رابطه‌ی

$$P_k = \frac{e(x_k) - e(x_{k-1})}{\sigma_k^2} \quad (۲۶)$$

در رابطه‌ی (۲۶)، مجموع مربعات باقیمانده‌ها، و مجموع تغییرات پارامترها و باقیمانده‌ها است که به صورت زیر تعریف می‌شود (گاوین، ۲۰۱۳).

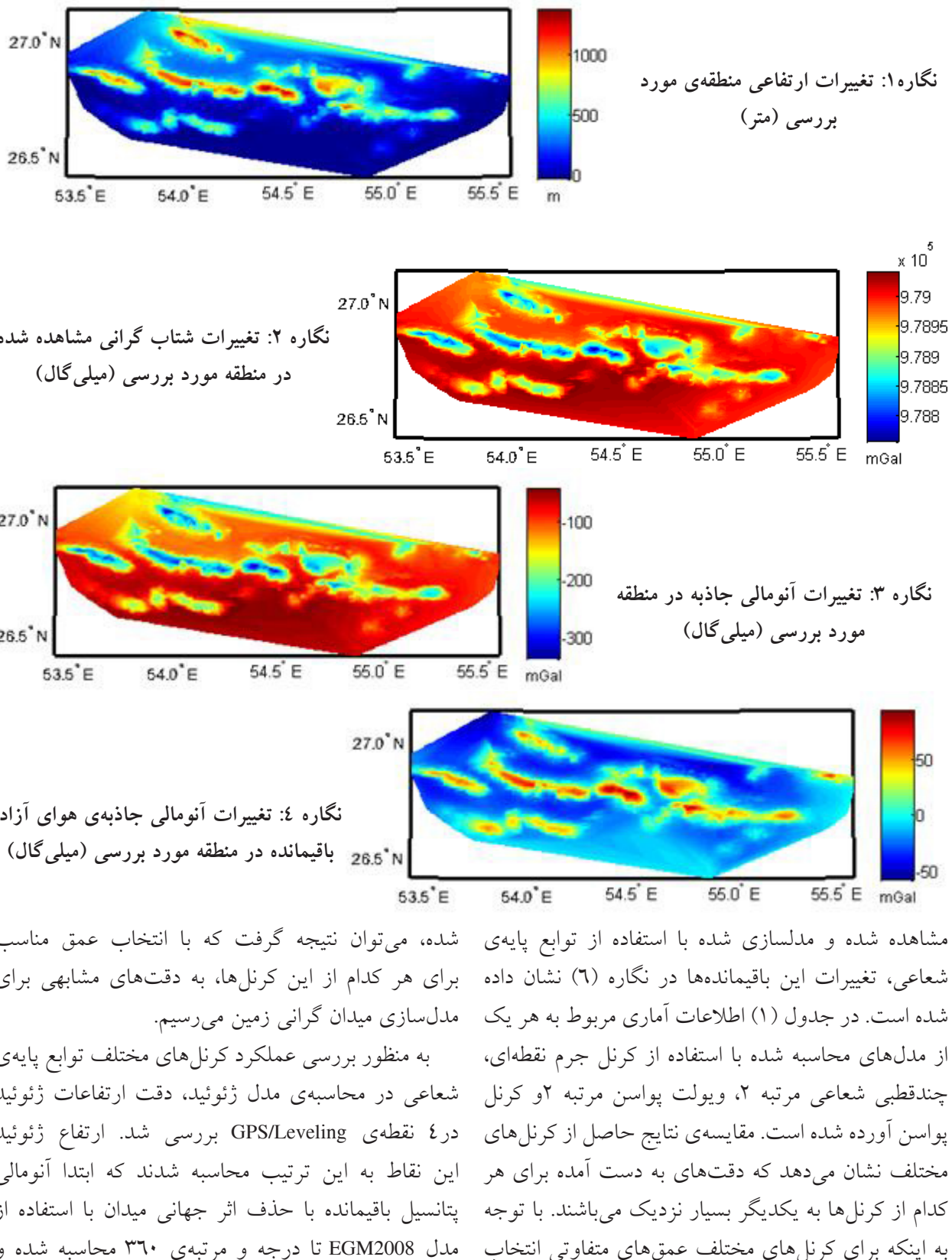
$$\sigma_k^2 = 2 \Delta x_k^T \left(\mu \Delta x_k + J(x_k)^T r(x_k) \right) \quad (۲۷)$$

در صورت افزایش خطای خروجی در یک تکرار، پارامتر پایدارسازی به ترتیب زیر به هنگام می‌شود (گاوین، ۲۰۱۳).

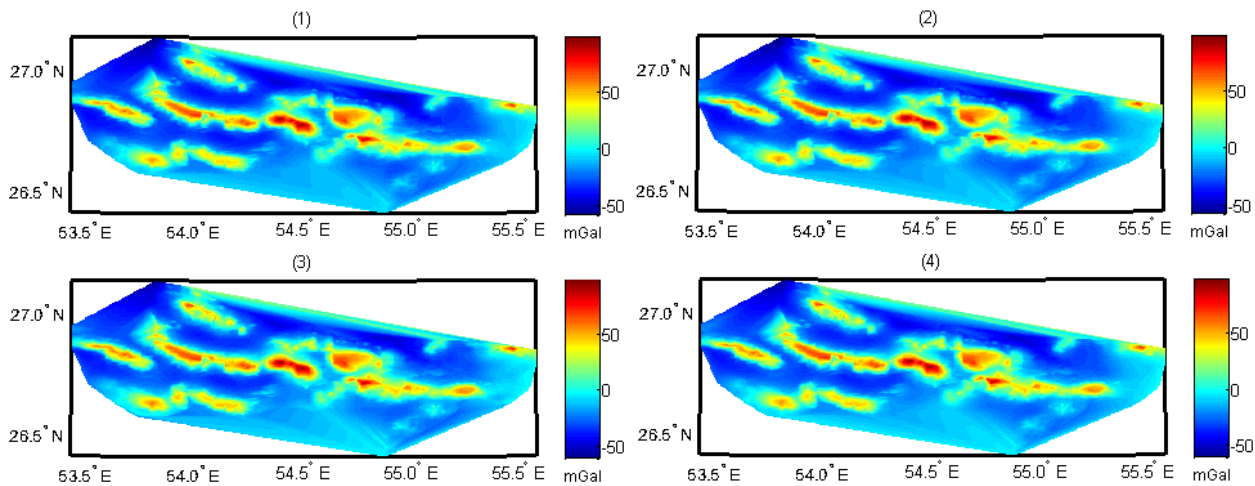
$$\mu_{k+1} = \alpha_0 \rho_k \quad (۲۸)$$

۵. مطالعه موردی: منطقه‌ی فارس ساحلی

به منظور بررسی کارایی انواع مختلف توابع پایه‌ی شعاعی کروی در مدل‌سازی محلی میدان گرانی زمین، منطقه‌ی فارس ساحلی در محدوده‌ی طول جغرافیایی $27.28 < \lambda < 55.58$ و عرض جغرافیایی $26.54 < \varphi < 53.42$ در نظر گرفته شد. مجموعه داده‌های این منطقه شامل مشاهدات شتاب گرانی در ۶۳۵۰ نقطه است که از بین آنها تعداد ۱۰۶ نقطه به عنوان نقطه‌ی کنترل انتخاب شد. علاوه بر این، از ۴ نقطه‌ی GPS/Leveling موجود در این منطقه به عنوان نقاط کنترل ارتفاعی برای ارزیابی دقت مدل‌های ژئوئید محاسبه شده با انواع مختلف توابع پایه‌ی شعاعی استفاده شد. تغییرات ارتفاعی و تغییرات شتاب گرانی منطقه‌ی فارس ساحلی به ترتیب در نگاره‌های (۱) و (۲) نمایش داده شده است. ابتدا با کم کردن شتاب گرانی نرمال از مشاهدات شتاب جاذبه، آنومالی جاذبه در نقاط مشاهداتی و نقاط کنترل این منطقه بدست آمد. برای محاسبه‌ی شتاب گرانی نرمال از رابطه‌ی سومیگالیانا-پزتی (هکینن و موریز، ۱۹۷۷) استفاده شد. تغییرات آنومالی جاذبه در منطقه‌ی مورد بررسی در نگاره (۳) نمایش داده شده است. سپس، مشاهدات آنومالی جاذبه با اعمال



فصلنامه علمی - پژوهشی اطلاعات جغرافیایی (میراث)
بررسی عملکرد انواع مختلف توابع پایه شعاعی ... / ۶۹



نگاره ۵: تغییرات آنومالی جاذبی هوای آزاد باقیمانده مدل‌سازی شده با استفاده از (۱) کرنل جرم نقطه‌ای، (۲) چند قطبی شعاعی مرتبه ۲، (۳) ویولت پواسن مرتبه ۲، و (۴) کرنل پواسن (میلی گال)

جدول ۱: دقت مدل‌های آنومالی جاذبی هوای آزاد باقیمانده با استفاده از انواع مختلف توابع پایه شعاعی (میلی گال)

انحراف معیار	نوع تابع پایه شعاعی	عمق تابع پایه شعاعی	تعداد توابع پایه شعاعی	مینیمم	ماکزیمم	میانگین	انحراف پاسیل
۱/۵۶	کرنل جرم نقطه‌ای	-۱/۹۶	۱۰/۸۳	-۱۰/۵۴	۱۶۹	۱۸/۷۵	
۱/۴۵	چندقطبی شعاعی مرتبه ۲	۰/۰۰۱۳	۹/۹۲	-۹/۵۷	۱۶۹	۱۸/۷۵	
۱/۸۹	ویولت پواسن مرتبه ۲	۰/۰۰۲	۱۰/۸۴	-۱۳/۱۰	۱۶۹	۱۹/۱۵	
۱/۴۲	کرنل پواسن	-۰/۰۰۲۸	۹/۹,۷۶۷۶	-۱۰/۶۸	۱۶۹	۱۸/۸۳	

جاذبی بوگه و \bar{g} میدان نرمال سومیگلیانا-پزتی است. اطلاعات آماری مربوط به اختلاف ارتفاع ژئوئید به دست آمده با استفاده از انواع کرنل‌های توابع پایه شعاعی و ارتفاع ژئوئید مشاهده شده در نقاط GPS/Leveling در جدول (۲) ارائه شده است. نتایج بدست آمده نشان می‌دهد که دقت ژئوئید برای کرنل‌های مختلف یکسان است. در نگاره (۷) مدل ژئوئید محاسبه شده با استفاده از هر ۴ نوع کرنل تابع پایه شعاعی نشان داده شده است.

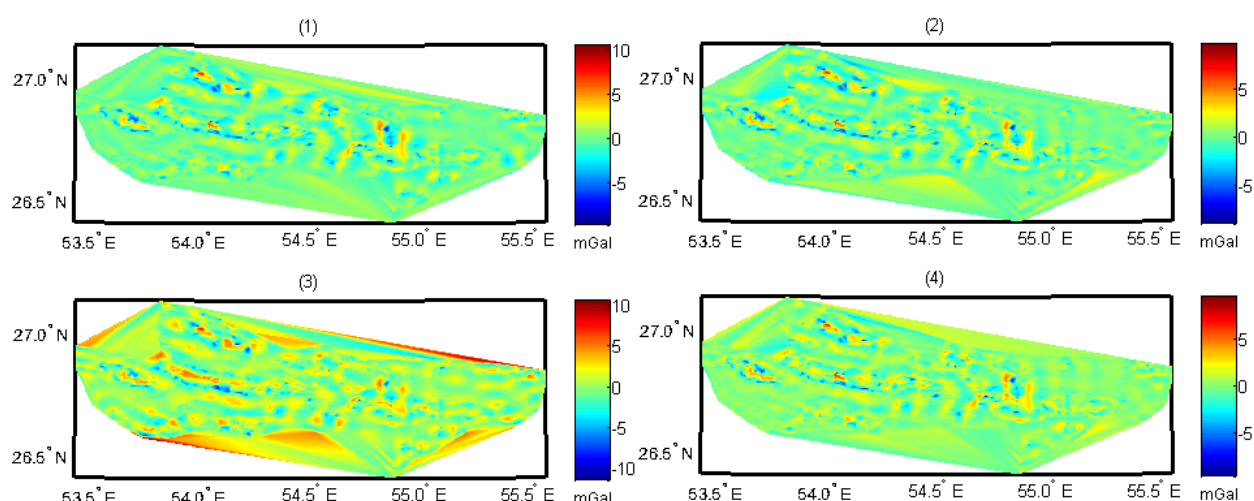
سپس آنومالی پتانسیل باقیمانده در این نقاط با استفاده از پارامترهای توابع پایه شعاعی برآورد شد. با جمع آنومالی پتانسیل جهانی محاسبه شده با استفاده از هارمونیک‌های کروی و آنومالی پتانسیل باقیمانده محاسبه شده با استفاده از توابع پایه شعاعی و استفاده از فرمول برنسز در میدان نرمال سومیگلیانا-پزتی (اردلان و گرافاند، ۲۰۰۱)، ارتفاع شبه ژئوئید در این نقاط کنترل ارتفاعی به دست آمد. سپس با اعمال تصحیح شبه ژئوئید (اختلاف بین سطوح ژئوئید و شبه ژئوئید)، ارتفاع ژئوئید در این نقاط بدست آمد. رابطه‌ی تصحیح شبه ژئوئید به صورت زیر می‌باشد (فدرستون و کربایی، ۱۹۹۱)

$$N \approx \frac{\Delta g^B}{\gamma} H \quad (30)$$

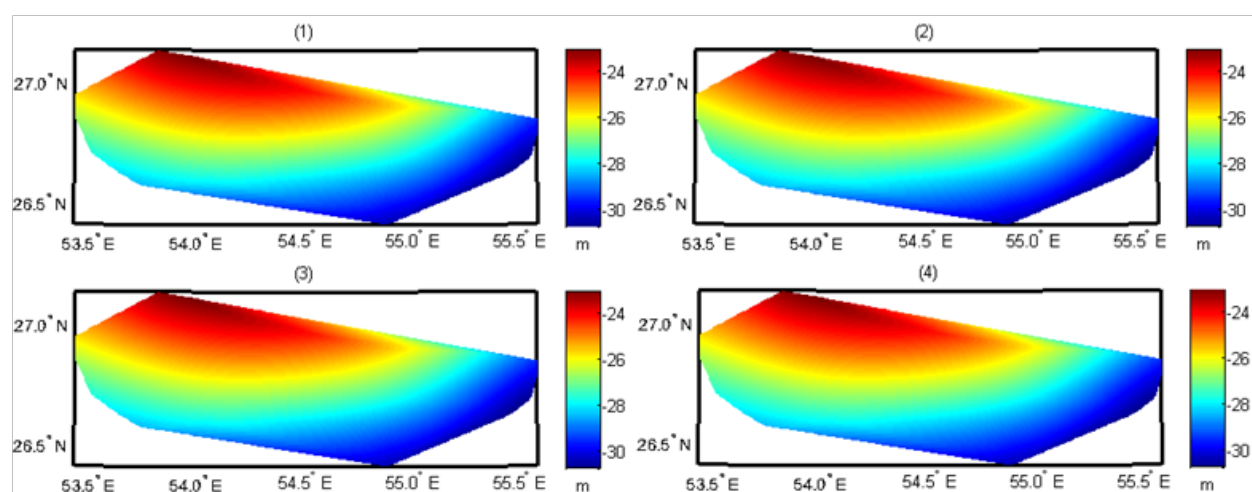
در رابطه‌ی فوق، H ارتفاع اورتومتریک، Δg^B آنومالی

جدول ۲: برآورد دقت ژئوئید در نقاط GPS/Levelling با استفاده از انواع مختلف توابع پایه‌ی شعاعی کروی (متر)

نوع تابع پایه‌ی شعاعی	عمق تابع پایه‌ی شعاعی	تعداد توابع پایه‌ی شعاعی	مینیمم	ماکزیمم	میانگین	انحراف معيار
کرنل جرم نقطه‌ای	۱۸/۷۵	۱۶۹	۰/۰۳۶۷۲	۰/۳۳۱۸۴	۰/۱۴۷۸۰۵	۰/۱۲۷۶۴۹
چندقطبی شعاعی مرتبه ۲	۱۸/۷۵	۱۶۹	۰/۰۳۶۷۳	۰/۳۳۱۸۵	۰/۱۴۷۸۱۹	۰/۱۲۷۶۵۰
ویولت پواسن مرتبه ۲	۱۹/۱۵	۱۶۹	۰/۰۳۶۷۴	۰/۳۳۱۸۶	۰/۱۴۷۸۲۲	۰/۱۲۷۶۴۹
کرنل پواسن	۱۸/۸۳	۱۶۹	۰/۰۳۶۷۳	۰/۳۳۱۸۵	۰/۱۴۷۸۱۸	۰/۱۲۷۶۴۹



نگاره ۶: تغییرات باقیمانده‌های سرشکنی محاسبه شده با استفاده از (۱) کرنل جرم نقطه‌ای، (۲) چند قطبی شعاعی مرتبه ۲، (۳) ویولت پواسن مرتبه ۲، و (۴) کرنل پواسن (میلی گال)



نگاره ۷: مدل ژئوئید محاسبه شده با استفاده از (۱) کرنل جرم نقطه‌ای، (۲) چند قطبی شعاعی مرتبه ۲، (۳) ویولت پواسن مرتبه ۲، و (۴) کرنل پواسن (متر)

فصلنامه علمی - پژوهشی اطلاعات جغرافیایی (میر)

بررسی عملکرد انواع مختلف توابع پایه شعاعی ... / ۷۱

منابع و مأخذ

- ۱- صفری ع، (۱۳۹۰)، ژئودزی فیزیکی، انتشارات دانشگاه تهران.
- ۲- صفری ع، فروغی ا، شریفی م، (۱۳۹۲)، مدل سازی محلی میدان گرانی با استفاده از توابع های پایه شعاعی بررسی موردنی: مدل سازی میدان گرانی در سواحل خلیج فارس، فیزیک زمین و فضا، ۳(۳۹)، ۴۸-۳۳.
3. Antoni M, Keller W, Weigelt M. (2009). Recovery of residual GRACE-observations by radial base functions. VII. Hotine-Marussi Symposium on Theoretical Geodesy.
4. Araneda, A. (2004). Variation of the Levenberg Marquardt method: An attempt to improve efficiency. Massachusetts Institute of technology.
5. Ardalan A.A, Grafarend E.W. (2001). Ellipsoidal geoidal undulations (ellipsoidal Bruns formula). Journal of Geodesy, 75(9-10), 544-552.
6. Barthelmes F. (1986). Untersuchungen zur Approximation des äußenen Gravitationsfeldes der Erde durch Punktmassen mit optimierten Positionen. Veröffentlichungen des Zentralinstituts Physik, 122.
7. Barthelmes F. (1988). Local gravity field approximation by point masses with optimized positions. Geodesy and Physics of the Earth. Proc: 6th international symposium.
8. Bentel K, Schmidt M, Gerlach C. (2012). Different radial basis functions and their applicability for regional gravity field representation on the sphere. Springer.
9. Claessens S.J, Featherstone W.E, Barthelmes F. (2001). Experiences with point-mass gravity field modelling in the Perth region, Western Australia. Geomatics Research Australasia, 53-86.
10. Eicker A, Mayer-Gürr T, Illik K.H. (2004). Global gravity field solutions from GRACE SST data and regional refinements by GOCE SGG observations. Proceedings IAG international symposium gravity. Porto, Portugal: geoid and space missions.
11. Featherstone W, Kirby J. (1998). Estimates of the separation between the Geoid and the Quasi-Geoid over Australia. Geomatics Research Australasia, 79-90.
12. Gavin H. (2011). The Levenberg-Marquardt method

بررسی قرار گرفت. کرنل جرم نقطه‌ای، چندقطبی شعاعی مرتبه ۲، کرنل پواسن و ویولت پواسن مرتبه ۲، انواع متداول توابع پایه‌ی شعاعی در مدل‌سازی میدان گرانی زمین هستند که در این تحقیق مورد بررسی قرار گرفتند.

برای هر یک از این کرنل‌های توابع پایه‌ی شعاعی، پارامترهای توابع شامل مراکز، عمق‌ها، و ضرایب مقیاس به طور همزمان به روش کمترین مربعات و با استفاده از الگوریتم غیرخطی لونبرگ مارکواردت طی یک پروسه‌ی تکراری تعیین شدند.

مقایسه عملکرد کرنل‌های مختلف توابع پایه‌ی شعاعی نشان داد که در مدل‌سازی محلی میدان گرانی زمین با استفاده از توابع پایه شعاعی، در صورت انتخاب عمق مناسب برای این توابع، کرنل‌های مختلف به مدل‌هایی با دقت‌های مشابه متنبی شوند.

نتایج به دست آمده در جدول (۲) برای نقاط کنترل GPS/Levelling نشان می‌دهد که مقادیر دقت برای این کرنل‌ها در رقم پنجم و ششم اعشار متفاوت است که این دلیلی برای صحت کار انجام شده می‌باشد. از نکات برجسته‌ی این تحقیق می‌توان به موارد زیر اشاره کرد:

- مقایسه‌ی عملکرد انواع مختلف توابع پایه‌ی شعاعی و تأثیر آنها بر مدل‌سازی محلی میدان گرانی زمین
- کاهش تعداد توابع پایه‌ی شعاعی مورد نیاز برای مدل‌سازی میدان گرانی زمین در مقایسه با تعداد مشاهدات موجود در منطقه
- حل همزمان پارامترهای مجھول توابع پایه‌ی شعاعی با استفاده از الگوریتم پایدارسازی غیرخطی لونبرگ-مارکواردت
- ارائه‌ی رابطه‌ای مناسب برای تعیین مقدار اولیه‌ی پارامتر پایدارسازی در الگوریتم لونبرگ-مارکواردت
- ارائه‌ی روشی مناسب برای به هنگام سازی پارامتر پایدارسازی در الگوریتم لونبرگ مارکواردت بر مبنای مقادیر پارامترهای مجھول مدل‌سازی در هر تکرار.

- estimation of a multi-resolution representation of the gravity field based on spherical harmonics and wavelets. *Journal of geodynamics*, 39(5), 512-526.
26. Schmidt M, Fabert O, Shum C.K, Han.S.C. (2004). Gravity field determination using multiresolution techniques. GOCE User Workshop: GOCE, The Geoid and Oceanography. Proc: ESA.
27. Schmidt M, Fengler M, Mayer-Gürr T. (2007). Regional gravity modeling in terms of spherical base functions. *Journal of Geodesy*, 17-38.
28. Vermeer M. (1982). The use of mass point models for describing the Finnish gravity field. Gävle. Sweden: 9th meeting of the Nordic Geodetic Commission.
29. Vermeer M. (1983). A new SEASAT altimetric geoid for the Baltic.
30. Vermeer M. (1984). Geoid studies on Finland and the Baltic.
31. Vermeer M. (1995). Mass point geopotential modelling using fast spectral techniques; historical overview, toolbox description, numerical experiment. *Manuscr. Geod.*, 20, 362-378.
32. Wittwer TB. (2009). regional gravity field modelling with radial basis functions. TU Delft: Doctoral dissertation.
- for nonlinear least squares curve-fitting problems. Duke University: Department of Civil and Environmental Engineering.
13. Heikkinen.M. (1981). Solving the shape of the earth by using digital density models. *Rep. Finnish Geod.*, 81.
14. Heiskanen WA, Moritz M. (1967). Physical geodesy. *Bulletin Géodésique*, 86(1), 491-492.
15. Klees R, Wittwer T. (2007). A data-adaptive design of a spherical basis function network for gravity field modelling. *Dynamic Planet*, 322-328.
16. Klees R, Wittwer T. (2007). Local gravity field modelling with multi-pole wavelets. *Dynamic Planet*, 303-308.
17. Klees.R , Tenzer. R , Prutkin.I , Wittwer.T. (2008). A data-driven approach to local gravity field modelling using spherical radial basis functions. *Journal of Geodesy*, 457-471.
18. Lehmann R. (1993). The method of free-positioned point masses'geoid studies on the Gulf of Bothnia. *Bulletin géodésique*, 31-40.
19. Lin M, Denker H, Müller J. (2015). Regional Gravity Field Modeling by Radially Radially Optimized Point Masses: Case Studies with Synthetic Data. Springer, 1-7.
20. M.Schmidt,M.Fengler,T.Mayer-Gürr. (2007). Regional gravity modeling in terms of spherical base functions. *Journal of Geodesy*, 17-38.
21. Marchenko A.N , Barthelmes F, Meyer U, Schwintzer.P. (2002). Efficient regional geoid computations from airborne and surface gravimetry data: a case study. Springer Berlin Heidelberg, 223-228.
22. Marchenko A.N. (1998). Parameterization of the Earth's Gravity field, point and line singularities. Astronomical and Geodetic Society.
23. Marchenko AN, Barthelmes F, Meyer U, Schwintzer P. (2001). Regional geoid determination: an application to airborne gravity data in the Skagerrak. *Geoforschungszentrum*, 50.
24. Pavlis N.K, Holmes S.A, Kenyon S.C, Factor J.K. (2012). development and evaluation of the Earth Gravitational Model 2008 (EGM2008). *Journal of Geophysical Research: Solid Earth*, 118(B4).
25. Schmidt M, Fabert O, Shum C.K. (2005). On the